

DOI:10.13718/j.cnki.xsxb.2019.04.002

# 基于圈收缩的图的(Sum-)Balaban 指标<sup>①</sup>

邓 波<sup>1,2,3</sup>, 苏雪丽<sup>1</sup>, 任小敏<sup>1</sup>

1. 青海师范大学 数学与统计学院, 西宁 810008; 2. 藏文信息处理教育部重点实验室, 西宁 810008;  
3. 广东石油化工学院 理学院, 广东 茂名 525000

**摘要:** 连通图  $G$  的 Balaban 指标(也叫  $J$  指标)的定义是

$$J(G) = \frac{m}{m-n+2} \sum_{uv \in E(G)} \frac{1}{\sqrt{\sigma_G(u)\sigma_G(v)}}$$

连通图  $G$  的 Sum-Balaban 指标定义为

$$SJ(G) = \frac{m}{m-n+2} \sum_{uv \in E(G)} \frac{1}{\sqrt{\sigma_G(u) + \sigma_G(v)}}$$

其中  $m, n$  分别是图  $G$  的边数和点数,  $\sigma_G(u)$  表示  $G$  中从顶点  $u$  到其它各个顶点的距离之和. Balaban 指标和 Sum-Balaban 指标被广泛应用于 QSAR 和 QSPR 的研究. 证明了: 经过圈收缩后, 一类单圈图的 Balaban 指标和 Sum-Balaban 指标是增大的. 观察 Balaban 指标和 Sum-Balaban 指标在圈收缩操作中的变化规律, 对这两类拓扑指标提出了一种新的比较方法.

**关键词:** Balaban 指标; Sum-Balaban 指标; 距离

**中图分类号:** O157.5

**文献标志码:** A

**文章编号:** 1000-5471(2019)04-0007-04

对简单图  $G$ , 分别用  $m(G)$  和  $n(G)$  表示  $G$  的边集和顶点集, 其边数和点数分别记为  $m = m(G)$  和  $n = n(G)$ .  $N_G(v)$  表示顶点  $v$  在  $G$  中的邻集. 在图  $G$  中, 顶点  $u$  和  $v$  的距离记为  $d_G(u, v)$ , 顶点  $u$  到其它各顶点的距离之和记为  $\sigma_G(u)$ , 即  $\sigma_G(u) = \sum_{\omega \in V(G)} d_G(u, \omega)$ . 文献[1]介绍了一种关于连通图的新的拓扑指标, 称为 Balaban 指标, 或简称为  $J$  指标:

$$J(G) = \frac{m}{m-n+2} \sum_{uv \in E(G)} \frac{1}{\sqrt{\sigma_G(u)\sigma_G(v)}}$$

类似地, Sum-Balaban 指标<sup>[2]</sup> 为

$$SJ(G) = \frac{m}{m-n+2} \sum_{uv \in E(G)} \frac{1}{\sqrt{\sigma_G(u) + \sigma_G(v)}} \quad (1)$$

Balaban 指标和 Sum-Balaban 指标都是非常有用的且具有良好性质的分子描述器, 被广泛应用于 QSAR 和 QSPR 的各方面的研究<sup>[1-2]</sup>. 更多关于 Balaban 指标、Sum-Balaban 指标和其它化学指标的研究, 参考文献 [3-11].

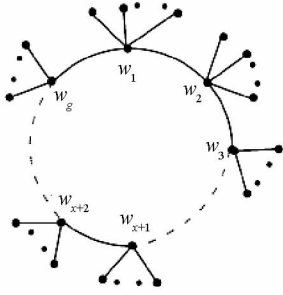
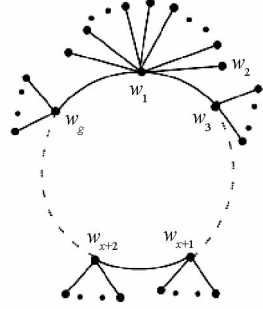
设  $U_0 = U_n(S_{w_1}, S_{w_2}, \dots, S_{w_g})$  (见图 1) 是一个围长为  $g$  的单圈图, 其中  $S_{w_i}$  是以圈上的点  $w_i$  为中心的星图, 对  $1 \leq i \neq j \leq g$ , 满足  $|n(S_{w_i}) - n(S_{w_j})| \leq 1$ . 图  $U_1$  (见图 2) 是由  $U_0$  经过收缩边  $w_1w_2$ , 并把  $w_1w_2$  变成悬挂边得到的, 即

① 收稿日期: 2018-05-26

基金项目: 青海省科技厅项目(2018-ZJ-925Q, 2017-ZJ-790); 国家自然科学基金项目(11701311, QY201907); 广东省自然科学基金项目-博士启动项目(2016A030310307).

作者简介: 邓 波(1983-), 男, 副教授, 博士, 主要从事图论的研究.

$$U_1 = U_0 - \{\omega_2 x : x \in N_{U_0}(\omega_2) \setminus \{\omega_1\}\} + \{\omega_1 x : x \in N_{U_0}(\omega_2) \setminus \{\omega_1\}\}$$

图 1 单圈图  $U_0$ 图 2 单圈图  $U_1$ 

**定理 1**  $SJ(U_0) < SJ(U_1)$ .

**证** 从图  $U_0$  到图  $U_1$  可以看到, 除了顶点  $\omega_2$  外, 其它顶点的距离之和都变小了. 即对  $u \in V(U_0)$  (或  $u \in V(U_1)$ ), 有  $\sigma_{U_0}(u) > \sigma_{U_1}(u)$ , 以及  $\sigma_{U_0}(\omega_2) < \sigma_{U_1}(\omega_2)$ . 因此, 对任意边  $wv \in E(U_0) \setminus E(U_1)$ ,  $u, v \neq \omega_2$ , 有:

$$\sigma_{U_0}(u) + \sigma_{U_0}(v) > \sigma_{U_1}(u) + \sigma_{U_1}(v)$$

$$\sum_{\substack{wv \in E(U_0) \\ u, v \neq \omega_2}} \frac{1}{\sqrt{\sigma_{U_0}(u) + \sigma_{U_0}(v)}} < \sum_{\substack{wv \in E(U_1) \\ u, v \neq \omega_2}} \frac{1}{\sqrt{\sigma_{U_1}(u) + \sigma_{U_1}(v)}} \quad (2)$$

对于顶点  $\omega_1, \omega_2$ , 由于圈的收缩, 容易看到在  $U_0$  中  $\omega_2$  与其它顶点的距离之和大于在  $U_1$  中  $\omega_1$  与其它顶点的距离之和, 即  $\sigma_{U_0}(\omega_2) > \sigma_{U_1}(\omega_1)$ . 因此, 对于  $\omega_2 u \in E(U_0)$ ,  $u \in D_{U_0}(\omega_2)$  和  $\omega_1 u \in E(U_1)$ , 有  $u \in D_{U_1}(\omega_1) \cap D_{U_0}(\omega_2)$ , 其中  $D_{U_1}(\omega_1) \cap D_{U_0}(\omega_2) = D_{U_0}(\omega_2)$ , 则:

$$\sigma_{U_0}(\omega_2) + \sigma_{U_0}(u) > \sigma_{U_1}(\omega_1) + \sigma_{U_1}(u)$$

$$\sum_{\substack{\omega_2 u \in E(U_0) \\ u \in D_{U_0}(\omega_2)}} \frac{1}{\sqrt{\sigma_{U_0}(\omega_2) + \sigma_{U_0}(u)}} < \sum_{\substack{\omega_1 u \in E(U_1) \\ u \in D_{U_0}(\omega_2)}} \frac{1}{\sqrt{\sigma_{U_1}(\omega_1) + \sigma_{U_1}(u)}} \quad (3)$$

由图  $U_0$  可以看到, 连接顶点  $\omega_2$  的边有  $\omega_1 \omega_2, \omega_2 \omega_3$  和悬挂边. 接下来需要证明如下不等式:

$$\frac{1}{\sqrt{\sigma_{U_0}(\omega_1) + \sigma_{U_0}(\omega_2)}} + \frac{1}{\sqrt{\sigma_{U_0}(\omega_2) + \sigma_{U_0}(\omega_3)}} < \frac{1}{\sqrt{\sigma_{U_1}(\omega_1) + \sigma_{U_1}(\omega_2)}} + \frac{1}{\sqrt{\sigma_{U_1}(\omega_1) + \sigma_{U_1}(\omega_3)}} \quad (4)$$

因为  $\sigma_{U_1}(\omega_1) < \sigma_{U_0}(\omega_2)$  和  $\sigma_{U_1}(\omega_3) < \sigma_{U_0}(\omega_3)$ , 则

$$\sigma_{U_1}(\omega_1) + \sigma_{U_1}(\omega_3) < \sigma_{U_0}(\omega_2) + \sigma_{U_0}(\omega_3) \quad (5)$$

如果  $\sigma_{U_0}(\omega_1) + \sigma_{U_0}(\omega_2) \geq \sigma_{U_1}(\omega_1) + \sigma_{U_1}(\omega_2)$ , 则由(5)式, 不等式(4)成立. 否则,

$$\sigma_{U_0}(\omega_1) + \sigma_{U_0}(\omega_2) < \sigma_{U_1}(\omega_1) + \sigma_{U_1}(\omega_2) \quad (6)$$

当  $U_0$  的围长是偶数时, 可以看出, 对顶点  $\omega_2$ , 其增加的部分  $\sigma_{U_1}(\omega_2) - \sigma_{U_0}(\omega_2)$  等于顶点  $\omega_1$  的减少部分  $\sigma_{U_0}(\omega_1) - \sigma_{U_1}(\omega_1)$ , 故

$$\sigma_{U_0}(\omega_1) + \sigma_{U_0}(\omega_2) = \sigma_{U_1}(\omega_1) + \sigma_{U_1}(\omega_2)$$

因此, 只需讨论  $U_0$  的围长是奇数的情况. 可以看到:

$$\sigma_{U_0}(\omega_2) = \sum_{\substack{u \in V(U_0) \\ u \notin D_{U_0}(\omega_2)}} d_{U_0}(\omega_2, u) + \sum_{v \in D_{U_0}(\omega_2)} d_{U_0}(\omega_2, v) =$$

$$\sum_{\substack{u \in V(U_0) \\ u \notin D_{U_0}(\omega_2)}} d_{U_0}(\omega_2, u) + d_{U_0}(\omega_2) - 2$$

$$\sigma_{U_1}(\omega_3) = \sum_{\substack{u \in V(U_1) \\ u \notin D_{U_0}(\omega_2)}} d_{U_1}(\omega_3, u) + \sum_{v \in D_{U_0}(\omega_2)} d_{U_1}(\omega_3, v)$$

从图  $U_0$  到图  $U_1$ , 我们有:

$$\sum_{\substack{u \in V(U_0) \\ u \notin D_{U_0}(\omega_2)}} d_{U_0}(\omega_2, u) - \sum_{\substack{u \in V(U_1) \\ u \notin D_{U_0}(\omega_2)}} d_{U_1}(\omega_3, u) \geq d_{U_0}(\omega_3) - 1 \quad (7)$$

$$\sum_{v \in D_{U_0}(w_2)} d_{U_1}(w_3, v) - \sum_{v \in D_{U_0}(w_2)} d_{U_0}(w_2, v) = d_{U_0}(w_2) - 2 \quad (8)$$

由  $\Delta(U_0) = d_{U_0}(w_3) \geq d_{U_0}(w_2)$  和(7),(8)式, 故  $\sigma_{U_1}(w_3) < \sigma_{U_0}(w_2)$ . 因此, 由  $\sigma_{U_1}(w_1) < \sigma_{U_0}(w_1)$ , 可得

$$\sigma_{U_1}(w_1) + \sigma_{U_1}(w_3) < \sigma_{U_0}(w_1) + \sigma_{U_0}(w_2) \quad (9)$$

不失一般性, 设

$$\sigma = \sigma_{U_0}(w_1) + \sigma_{U_0}(w_2) \leq \sigma_{U_0}(w_2) + \sigma_{U_0}(w_3)$$

则存在非负整数  $k_1$ , 满足  $\sigma_{U_0}(w_2) + \sigma_{U_0}(w_3) = \sigma + k_1$ . 类似地, 由(6)式和(9)式, 存在正整数  $k_2$  和  $k_3$ , 分别满足  $\sigma_{U_1}(w_1) + \sigma_{U_1}(w_2) = \sigma + k_2$  和  $\sigma_{U_1}(w_1) + \sigma_{U_1}(w_3) = \sigma - k_3$ . 如果  $k_1 \geq k_2$ , 则

$$\frac{1}{\sqrt{\sigma_{U_0}(w_2) + \sigma_{U_0}(w_3)}} < \frac{1}{\sqrt{\sigma_{U_1}(w_1) + \sigma_{U_1}(w_2)}}$$

因此由(9)式, 不等式(4)成立. 否则

$$k_1 < k_2 \quad (10)$$

在  $U_0$  的围长是奇数的条件下, 讨论  $k_2$  和  $k_3$  的关系. 令:

$$\Delta_1^- = \sigma_{U_0}(w_1) - \sigma_{U_1}(w_1) \quad \Delta_2^+ = \sigma_{U_1}(w_2) - \sigma_{U_0}(w_2) \quad \Delta_3^- = \sigma_{U_0}(w_3) - \sigma_{U_1}(w_3)$$

从  $U_0$  到  $U_1$ , 可以看出:

$$\Delta_1^- + (d_{U_0}(w_{\lfloor \frac{x}{2} \rfloor + 2}) - 1) = \Delta_2^+ \quad k_2 = \Delta_2^+ - \Delta_1^- \quad k_3 = \Delta_1^- + \Delta_3^-$$

因此

$$k_2 = d_{U_0}(w_{\lfloor \frac{x}{2} \rfloor + 2}) - 1 < \Delta_1^- + d_{U_0}(w_1) < \Delta_1^- + \Delta_3^- = k_3 \quad (11)$$

由  $\Delta(U_0) = d_{U_0}(w_3) < \Delta_1^-$ , 以及(10)式和(11)式, 则有  $k_1 < k_2 < k_3$ . 于是

$$\frac{1}{\sqrt{\sigma - k_3}} > \frac{1}{\sqrt{\sigma}} > \frac{1}{\sqrt{\sigma + k_1}} > \frac{1}{\sqrt{\sigma + k_2}} \quad (12)$$

因为对  $x > 0$ ,  $\frac{1}{\sqrt{x}} - \frac{1}{\sqrt{x+s}}$  是单调递减函数, 其中  $s$  是正整数,  $k_2 < s < k_3 + k_1$ , 则对  $\sigma - k_3 < \sigma$ , 我们有

$$\frac{1}{\sqrt{\sigma - k_3}} - \frac{1}{\sqrt{\sigma - k_3 + s}} > \frac{1}{\sqrt{\sigma}} - \frac{1}{\sqrt{\sigma + s}}$$

当  $s$  增加时, 不等式的左边会变大; 当  $s$  减少时, 不等式的左边会变小. 因此

$$\begin{aligned} \frac{1}{\sqrt{\sigma - k_3}} - \frac{1}{\sqrt{\sigma + k_1}} &= \frac{1}{\sqrt{\sigma - k_3}} - \frac{1}{\sqrt{\sigma - k_3 + (k_3 + k_1)}} > \\ &\frac{1}{\sqrt{\sigma - k_3}} - \frac{1}{\sqrt{\sigma - k_3 + (k_3 + k_1 - 1)}} > \dots > \\ &\frac{1}{\sqrt{\sigma - k_3}} - \frac{1}{\sqrt{\sigma - k_3 + s}} > \frac{1}{\sqrt{\sigma}} - \frac{1}{\sqrt{\sigma + s}} > \\ &\frac{1}{\sqrt{\sigma}} - \frac{1}{\sqrt{\sigma + (s-1)}} > \dots > \frac{1}{\sqrt{\sigma}} - \frac{1}{\sqrt{\sigma + k_2}} \end{aligned}$$

故有:

$$\begin{aligned} \frac{1}{\sqrt{\sigma - k_3}} - \frac{1}{\sqrt{\sigma + k_1}} &> \frac{1}{\sqrt{\sigma}} - \frac{1}{\sqrt{\sigma + k_2}} \\ \frac{1}{\sqrt{\sigma}} + \frac{1}{\sqrt{\sigma + k_1}} - \frac{1}{\sqrt{\sigma + k_2}} - \frac{1}{\sqrt{\sigma - k_3}} &< 0 \end{aligned}$$

因此, 不等式(4)成立. 由(2),(3),(4)式和 Sum-Balaban 指标的定义, 定理 1 成立.

容易看出定理 1 对  $J(G)$  也成立. 本文所提出的新的比较方法是基于圈收缩变换的. 对于任意一个单圈图, 经过圈收缩后, 对于原图中的大部分顶点的距离之和都会变小, 但存在唯一一个顶点  $w_2$  的距离之和是变大的. 考虑把图的边集划分为若干部分进行比较. 特别地, 对含有顶点  $w_2$  的边, 需要进行恰当的组合, 再进行有效的比较. 定理 1 采用的方法也可以推广到双圈图以及  $k(k \geq 3)$  圈图, 有助于对这类化学指标进行值极刻画.

## 参考文献:

- [1] BALABAN A T. Topological Indices Based on Topological Distances in Molecular Graphs [J]. Pure & Appl Chem, 1983, 55(2): 199-206.
- [2] DENG H Y. On the Sum-Balaban Index [J]. MATCH Commun Math Comput Chem, 2011, 66(2): 273-284.
- [3] DONG H W, GUO X F. Character of Graphs with Extremal Balaban Index [J]. MATCH Commun Math Comput Chem, 2010, 63(3): 799-812.
- [4] ZHOU B, TRINAJSTIC N. Bounds on the Balaban Index [J]. Croat Chem Acta, 2008, 81(2): 319-323.
- [5] SUN L L. Bounds on the Balaban Index of Trees [J]. MATCH Commun Math Comput Chem, 2010, 63(3): 813-818.
- [6] DENG H Y. On the Balaban Index of Trees [J]. MATCH Commun Math Comput Chem, 2011, 66(1): 253-260.
- [7] GAO W, BABY S, SHAFIQ M K, et al. On Randic Indices of Single-Walled TiO<sub>2</sub> Nanotubes [J]. UPB Scientific Bulletin(Series B), 2017, 79(1): 93-100.
- [8] GAO W, JAMIL M K, JAVED A, et al. Sharp Bounds of the Hyper Zagreb Index on Acyclic, Unicyclic and Bicyclic Graphs [J/OL]. Discrete Dynamics in Nature and Society, 2017, 2017: 1-5[2018-4-20]. <https://doi.org/10.1155/2017/6079450>.
- [9] 钟 琴, 牟谷芳. 矩阵 Hadamard 积谱半径的新上界 [J]. 西南师范大学学报(自然科学版), 2018, 43(12): 1-5.
- [10] 贾弯弯, 王正攀. Rees 矩阵定理的简明刻画 [J]. 西南大学学报(自然科学版), 2017, 39(12): 86-89.
- [11] 钟 琴, 周 鑫. 非负不可约矩阵 Perron 根的上界 [J]. 西南大学学报(自然科学版), 2017, 39(10): 75-78.

## On Sum-Balaban Index of Graphs Based on Contraction of Cycles

DENG Bo<sup>1,2,3</sup>, SU Xue-li<sup>1</sup>, REN Xiao-min<sup>1</sup>

1. School of Mathematics and Statistics, Qinghai Normal University, Xining 810008, China;

2. Tibetan intelligent information processing and Machine Translation Key Laboratory, Xining 810008, China;

3. College of Science, Guangdong University of Petrochemical Technology, Maoming Guangdong 525000, China

**Abstract:** The Balaban index (also called  $J$  index) of a connected graph  $G$  is denoted as

$$J(G) = \frac{m}{m-n+2} \sum_{uv \in E(G)} \frac{1}{\sqrt{\sigma_G(u)\sigma_G(v)}}$$

and the Sum-Balaban index of a connected graph  $G$  is denoted as

$$SJ(G) = \frac{m}{m-n+2} \sum_{uv \in E(G)} \frac{1}{\sqrt{\sigma_G(u) + \sigma_G(v)}}$$

where  $m, n$  are the edge number and vertex number of  $G$ , respectively, and  $\sigma_G(u)$  (resp.  $\sigma_G(v)$ ) denotes the total distance from  $u$  to all the other vertices of  $G$ . The Balaban index and the Sum-Balaban index have been widely used in various QSAR and QSPR studies. In this paper, we have proved that the Balaban index and the Sum-Balaban index increase by the contraction of cycles. Then we see the varieties of this operation and propose a new method for these two indices.

**Key words:** Balaban index; Sum-Balaban index; distance

责任编辑 廖 坤